



TECHNISCHE  
UNIVERSITÄT  
WIEN

BACHELORARBEIT

# Implementation und Anwendung eines Hess-Smith Panelverfahrens in Python

ausgeführt am Institut für Strömungsmechanik und Wärmeübertragung  
der Technischen Universität Wien

durch

**Leon Schwarzäugl**

Gumpendorfer Straße 137,  
1060 Wien

unter der Anleitung von  
**Ao.Univ.Prof. Dipl.-Ing. Dr.techn. Stefan Braun**

21. September 2022

# Zusammenfassung

Im Zuge der vorliegenden Arbeit wurde ein Panelverfahren nach Hess-Smith zur Berechnung von ebenen Potentialströmungen um geschlossene Körper implementiert und auf verschiedene Probleme angewandt. Dazu wurde die Programmiersprache Python verwendet.

Zunächst wurde eine Klasse für Panele und ihre Eigenschaften entworfen. Im Zuge dessen wurde eine Routine entwickelt, die die entsprechenden Parameter in eine .csv-Datei ausgibt. Danach wurde eine Klasse für Tragflächenprofile sowie Methoden zur Berechnung der ihnen zugehörigen Systemparameter implementiert. Mit den somit berechneten Systemparametern kann das sich ergebende lineare Gleichungssystem für die Quellstärken gelöst werden. Aus diesen wurden die Tangentialgeschwindigkeiten und Druckbeiwerte an den jeweiligen Panele, sowie unter Hinzunahme einer Wirbelbelegung der Auftriebsbeiwert für das Gesamtsystem ermittelt. Abschließend wurde eine Routine für die Ermittlung der Tangentialgeschwindigkeiten an beliebigen Punkten im Strömungsfeld entwickelt.

Die fertige Implementation wurde verwendet, um für die Panele verschiedener Tragflächenprofile Graphen zu Geometrien und charakteristischen Parametern zu gewinnen. Auch wurde anhand eines Kreiszylinders mit 8 Panele gleicher Seitenlänge der Vektor der Quellbelegung, sowie die Tangentialgeschwindigkeiten und Druckbeiwerte an den Panelmittelpunkten ermittelt. Die Ergebnisse für die Druckbeiwerte wurden mit dem theoretischen Ergebnis aus der Potentialtheorie verglichen, wobei für die mittlere Abweichung in Abhängigkeit der Panelanzahl  $n$  eine Proportionalität  $\propto 1/n^2$  ermittelt wurde. Das System wurde ebenfalls um eine Wirbelbelegung erweitert und der Auftriebsbeiwert unter verschiedenen Anstellwinkeln des Profils bei konstanter Anströmgeschwindigkeit berechnet.

Schließlich wurde die Implementierung auf Joukowski-Profile angewandt und eine experimentelle Abschätzung der Fehlerordnung des Hess-Smith-Verfahrens durchgeführt. Dabei ergab sich eine relative Abweichung des Auftriebsbeiwerts des Hess-Smith Verfahrens vom theoretischen Resultat von 3.3% bei einer Panelanzahl  $n = 75$ .

# Inhaltsverzeichnis

<b>1</b>	<b>Aufgabenstellung</b>	<b>1</b>
1.1	Zielsetzung . . . . .	1
1.2	Methodik . . . . .	1
<b>2</b>	<b>Grundlagen</b>	<b>2</b>
2.1	Hess-Smith-Panelverfahren . . . . .	2
2.1.1	Berücksichtigung einer Wirbelbelegung . . . . .	5
2.1.2	Berechnung der Systemmatrix . . . . .	6
<b>3</b>	<b>Bericht der Arbeit</b>	<b>8</b>
3.1	Vorbereitung der Daten . . . . .	8
3.2	Untersuchungen am Kreiszylinder . . . . .	10
3.2.1	Achtseitiger Kreiszylinder . . . . .	11
3.2.2	Untersuchungen an allgemeinen Kreiszylindern . . . . .	12
3.3	Auswertung ausgewählter Profile . . . . .	15
3.3.1	NACA-0012-Profil . . . . .	16
3.3.2	NASA SC(2)-0614-Profil . . . . .	18
3.3.3	Taylor Zone-40-Profil . . . . .	20
3.4	Abschätzung der Fehlerordnung anhand des Joukowski-Profiles . . . . .	22
	<b>Literatur</b>	<b>i</b>
	Anhang A: Lednicer- und Selig-Format . . . . .	iii
	Anhang B: Beispielausgabe der Methode <code>.write_panels</code> . . . . .	iv
	Anhang C: Codeausschnitte . . . . .	v

# 1 Aufgabenstellung

## 1.1 Zielsetzung

Das Ziel der vorliegenden Arbeit ist die Berechnung aerodynamischer Eigenschaften von Tragflächenprofilen.

Dazu soll eine Klasse implementiert werden, welche die Tragflächenprofile abbildet. Mithilfe dieser Klasse sollen unter gegebenen Parametern Berechnungen zu den Druckbeiwerten und Tangentialgeschwindigkeit auf der Oberfläche sowie dem Auftriebsbeiwert angestellt werden. Weiters soll eine Untersuchung der Abweichung der ermittelten Druckbeiwerte von den aus der Potentialtheorie berechneten Werten für einen achtseitigen Kreiszylinder sowie eine Ermittlung der relevanten Größen unter verschiedenen Anstellwinkeln des Kreiszylinders erfolgen.

Für allgemeine Tragflächenprofile sollen Funktionen zur Berechnung und Darstellung des Umströmungsprofils sowie der Druckbeiwerte implementiert werden und diese auf ausgewählte Profile angewandt werden.

Abschließend soll die Abweichung des mittels des Panelverfahrens berechneten Auftriebsbeiwerts eines Joukowski-Profiles vom analytischen Resultat untersucht werden.

## 1.2 Methodik

Zur Lösung der Aufgabenstellung wurde die Programmiersprache Python (Version 3.8) verwendet, [13].

Für die Lösung der linearen Gleichungssysteme wurde `linalg.solve`<sup>1</sup> aus der Python-Bibliothek NumPy (Version 1.23.1) verwendet, [8]. Sämtliche Graphen wurden mithilfe der Python-Bibliothek Matplotlib (Version 3.5.2) erstellt, [10]. Analytische Lösungen zu den linearen Gleichungssystemen wurden mit der Python-Bibliothek SymPy (Version 1.10.1) berechnet, [11]. Für die Kurvenanpassung in 3.2.2 und 3.3 wurde die Python-Bibliothek SciPy (Version 1.8.1) verwendet, [14]. Die Maskierung der Trägerprofile für die Strömungs- und Konturgraphen in 3.3 wurde mithilfe der Python-Bibliothek shapely (Version 1.8.2) erreicht, [7].

---

<sup>1</sup>`linalg.solve` verwendet die LAPACK routine `_gesv` als Solver, [8]

## 2 Grundlagen

### 2.1 Hess-Smith-Panelverfahren

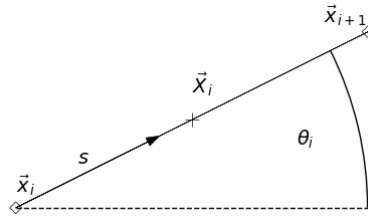


Abbildung 2.1: Zur Definition eines Panels

Das Hess-Smith-Panelverfahren ist ein Verfahren zur Berechnung von ebenen Potentialströmungen um geschlossene Körper mit Auftrieb unter Lösung der Laplace-Gleichung. Ein kontinuierlicher zweidimensionaler Körper mit der Umfangkurve  $\mathcal{C}$  wird dabei zunächst durch  $n + 1$  diskrete Datenpunkte  $\vec{x}_i = (x_i, y_i)$  dargestellt. Die Kontur des Profils wird nun durch eine endliche Anzahl Verbindungsgeraden zwischen zwei benachbarten Punkten  $\vec{x}_i, \vec{x}_{i+1}$ , den Panels  $\mathcal{C}_i$  (Abb. 2.1) angenähert. Die Zählrichtung der Punkte sei als gegen den Uhrzeigersinn festgelegt (siehe Abb. 2.2). Für das Profil gilt somit die Periodizität  $\vec{x}_n = \vec{x}_0$ . Jedes Panel wird durch die folgenden Parameter charakterisiert:

- den Mittelpunkten auf beiden Achsen

$$X_i = \frac{x_{n-i} + x_{n-i-1}}{2}, \quad Y_i = \frac{y_{n-i} + y_{n-i-1}}{2}, \quad (2.1)$$

- seinem Neigungswinkel

$$\theta_i = \left( \frac{y_{n-i-1} - y_{n-i}}{x_{n-i-1} - x_{n-i}} \right), \quad (2.2)$$

- und seiner Länge

$$l_i = \sqrt{(x_{n-i-1} - x_{n-i})^2 + (y_{n-i-1} - y_{n-i})^2}. \quad (2.3)$$

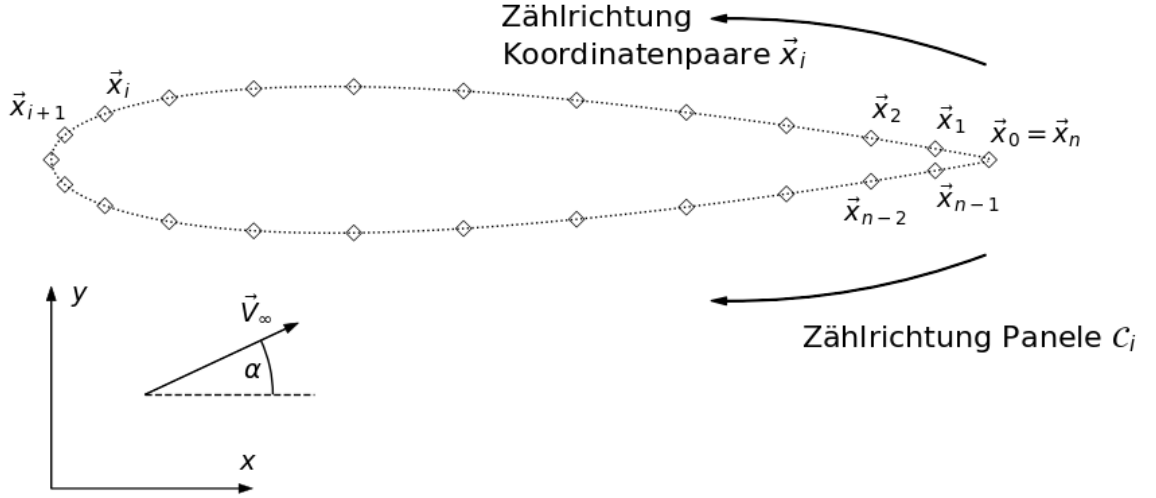


Abbildung 2.2: Zur Definition der Zählrichtung für Koordinatenpaare  $\vec{x} = (x, y)$  und Panele  $C_i$  sowie der Anströmgeschwindigkeit  $V_\infty$  und Anströmungswinkel  $\alpha$

Die Indexierung der Panele verläuft somit im Uhrzeigersinn. Im Hess-Smith-Panelverfahren sei nun jedes dieser Panele mit einer vorerst unbestimmten, konstanten Quelldichte  $q_i$  behaftet, welche an einem Punkt  $\vec{r}_i = \vec{x} - \hat{x}_i(s)$  zum Geschwindigkeitspotential den Beitrag

$$\phi_i^{(q)} = \frac{q_i}{2\pi} \int_{C_i} ds \ln r_i \quad (2.4)$$

liefert, mit  $s$ , der Koordinate der Bogenlänge, welche das Profil parametrisiert. Ebenso liefert die Profilanströmung mit der konstanten Geschwindigkeit  $V_\infty$  unter dem Winkel  $\alpha$  ein Potential

$$\phi_\infty = V_\infty (\cos \alpha x + \sin \alpha y). \quad (2.5)$$

Aus der Summe über alle Panelbeiträge aus (2.4) und (2.5) ergibt sich das Gesamtgeschwindigkeitspotential zu

$$\phi(\vec{x}) = V_\infty (\cos \alpha x + \sin \alpha y) + \sum_{i=0}^{n-1} \phi_i^{(q)}. \quad (2.6)$$

Das Geschwindigkeitspotential muss hierbei die Laplace-Gleichung erfüllen:

$$\Delta \phi = 0. \quad (2.7)$$

Die Geschwindigkeit im Punkt  $\vec{x}$  kann über den Gradienten von  $\phi$  berechnet werden:

$$\vec{v}(\vec{x}) = \nabla\phi(\vec{x}). \quad (2.8)$$

Auf der Oberfläche des Profils muss die Strömung die Gleitbedingung erfüllen; damit lassen sich  $n$  Gleichungen aufstellen, um diese Bedingung zu modellieren. Es wird gefordert, dass die Normalkomponente des Geschwindigkeitsvektors verschwindet:

$$v_j^{(n)} = \vec{v}(\vec{X}_j) \cdot \vec{n}_j = 0. \quad (2.9)$$

Dabei ist  $\vec{n}_j$  der Normalvektor auf das Panel  $\mathcal{C}_j$ .

In führender Ordnung erhält man ein System von  $n$  Gleichungen

$$\sum_{j=0}^{n-1} M_{i,j}^{(q)} q_j = b_i, \quad (2.10)$$

mit

$$M_{i,j}^{(q)} = \frac{1}{q_j} \nabla\phi_j^{(q)}(\vec{X}) \cdot \vec{n}_i, \quad (2.11)$$

und den Inhomogenitäten

$$b_i = -V_\infty \begin{pmatrix} \cos \alpha \\ \sin \alpha \end{pmatrix} \cdot \vec{n}_i, \quad (2.12)$$

aus dessen Lösung die Quellstärken  $q_i$  für jedes Panel ermittelt werden können.

Damit können die Tangentialkomponenten des Geschwindigkeitsvektors

$$v_i^{(t)} = \vec{v}(X_i) \cdot \frac{\vec{x}_{i+1} - \vec{x}_i}{|\vec{x}_{i+1} - \vec{x}_i|} \quad (2.13)$$

bestimmt werden.

Aus der Bernoulli-Gleichung

$$p_\infty + \frac{1}{2}\rho V_\infty^2 = p + \frac{1}{2}\rho v^2 \quad (2.14)$$

definiert man den Druckbeiwert als das Verhältnis der Druckdifferenzen von Profilanströmung und dynamischem Druck

$$c_p = \frac{p - p_\infty}{\frac{1}{2}\rho V_\infty^2}. \quad (2.15)$$

Daraus kann der Druckbeiwert

$$c_{p_i} = 1 - \left( \frac{v_i^{(t)}}{V_\infty} \right)^2 \quad (2.16)$$

am Mittelpunkt des Panels  $\mathcal{C}_i$  bestimmt werden, [9], [5].

### 2.1.1 Berücksichtigung einer Wirbelbelegung

Will man den Auftrieb berücksichtigen, so reicht die reine Quellbelegung des Profils noch nicht aus.

Im Hess-Smith-Verfahren wird für das gesamte Profil eine einzige konstante Wirbelbelegung  $\gamma$  für alle Panele angenommen. Damit wird das Potential aus (2.6) um folgende Beiträge erweitert:

$$\phi_i^{(w)} = \frac{\gamma}{2\pi} \int ds \theta_i, \quad (2.17)$$

zu

$$\begin{aligned} \phi(\vec{x}) &= V_\infty(\cos \alpha x + \sin \alpha y) + \sum_{i=0}^{n-1} \left( \phi_i^{(q)} + \phi_i^{(w)} \right) \\ &= V_\infty(\cos \alpha x + \sin \alpha y) + \sum_{i=0}^{n-1} \int_{\mathcal{C}_i} \left( \frac{q_i}{2\pi} \ln r_i - \frac{\gamma}{2\pi} \theta_i \right) ds. \end{aligned} \quad (2.18)$$

Die Gleitbedingung bleibt erhalten, allerdings muss das Gleichungssystem entsprechend um den hinzugekommenen Potentialbeitrag erweitert werden. Dadurch erhält das Gleichungssystem eine neue Variable  $\gamma$  und ist somit unterbestimmt. Die fehlende Gleichung ergibt sich aus der Kutta-Bedingung, welche besagt, dass es an der Hinterkante des Profils keine Umströmung gibt.

Zur Modellierung der Kutta-Bedingung wählt man

$$v_0^{(t)} = -v_n^{(t)}. \quad (2.19)$$

Daraus folgt, dass die Tangentialkomponenten des Geschwindigkeitsvektors in den Mittelpunkten der Panele, welche die Profilhinterkante bilden, vom Betrag gleich groß und gegenläufig gerichtet sein müssen.

Nach Lösung des erhaltenen linearen Gleichungssystems mit  $q_n = \gamma$  kann nun der Auftriebsbeiwert  $c_a$  ermittelt werden. Dieser ergibt sich mit der Profiltiefe  $t$  und der Länge  $l_i$  des Panels  $\mathcal{C}_i$ , approximiert in folgender Form:

$$c_a \approx \frac{2}{V_\infty t} \sum_{i=0}^{n-1} v_i^{(t)} l_i. \quad (2.20)$$

Für eine numerische Berechnung des Auftriebsbeiwerts muss nun noch die Systemmatrix bestimmt werden, welche das lineare Gleichungssystem (2.10) definiert, [9], [5], [3].



### 2.1.2 Berechnung der Systemmatrix

Die Systemmatrix zur Berechnung der Normalgeschwindigkeiten  $v_i^{(n)}$  in den Panelmittelpunkten für eine stückweise konstante Quellenbelegung der Panel ergibt sich aus der Gleitbedingung. Wendet man diese direkt auf (2.6) an, muss ein kompliziertes Integral gelöst werden. Dieses kann theoretisch mit Computermethoden gelöst werden, für den Berechnungsaufwand ist es allerdings bei Profilen mit einer hohen Anzahl an Panelen günstiger, dieses analytisch zu berechnen.

Für die Systemmatrix und ihre Parameter gelten:

$$M_{i,j} = A_{i,j}^{(n)}, \quad i = 0, 1, \dots, n-1, \quad j = 0, 1, \dots, n-1, \quad (2.21)$$

mit der Einflussmatrix

$$A_{i,j}^{(n)} = -\sin(\theta_i - \theta_j)I_{i,j} + \cos(\theta_i - \theta_j)J_{i,j}, \quad (2.22)$$

sowie den geometrischen Integralen

$$I_{i,j} = \begin{cases} \frac{1}{4\pi} \ln \left[ \frac{(l_j + 2\xi_{i,j})^2 + 4\eta_{i,j}^2}{(l_j - 2\xi_{i,j})^2 + 4\eta_{i,j}^2} \right] & , \quad i \neq j, \\ 0 & , \quad i = j, \end{cases} \quad (2.23)$$

und

$$J_{i,j} = \begin{cases} \frac{1}{2\pi} \arctan \left[ \frac{l_j - 2\xi_{i,j}}{2\eta_{i,j}} \right] + \frac{1}{2\pi} \arctan \left[ \frac{l_j + 2\xi_{i,j}}{2\eta_{i,j}} \right] & , \quad i \neq j, \\ \frac{1}{2} & , \quad i = j. \end{cases} \quad (2.24)$$

Dabei gilt

$$\xi_{i,j} = (X_i - X_j) \cos \theta_j + (Y_i - Y_j) \sin \theta_j, \quad (2.25)$$

$$\eta_{i,j} = -(X_i - X_j) \sin \theta_j + (Y_i - Y_j) \cos \theta_j. \quad (2.26)$$

Mit der Systemmatrix und den Inhomogenitäten  $b_i$  wird nun das lineare Gleichungssystem aus (2.10) berechnet.

Für die Tangentialkomponente der Geschwindigkeit ergibt sich der Ausdruck

$$v_i^{(t)} = \sum_{j=0}^{n-1} A_{i,j}^{(t)} q_j + V_\infty \cos(\alpha - \theta_i), \quad (2.27)$$

mit der Einflussmatrix

$$A_{i,j}^{(t)} = \cos(\theta_i - \theta_j)I_{i,j} + \sin(\theta_i - \theta_j)J_{i,j}. \quad (2.28)$$

Die Systemmatrix  $M_{i,j}$  aus (2.21) berücksichtigt allerdings noch keine Wirbelbelegungen und damit keinen Auftrieb.

Im Falle einer konstanten Wirbelbelegung  $\gamma$  auf allen Panelen erweitert sich die Dimension von  $M_{i,j}$  von  $n \times n$  auf  $(n+1) \times (n+1)$ . Dadurch müssen folgende zusätzliche Elemente bestimmt werden:

$$M_{i,n} = \sum_{j=0}^{n-1} A_{i,j}^{(t)}, \quad i = 0, 1, \dots, n-1, \quad (2.29)$$

$$M_{n,j} = A_{0,j}^{(t)} + A_{n-1,j}^{(t)}, \quad j = 0, 1, \dots, n-1, \quad (2.30)$$

$$M_{n,n} = - \sum_{j=0}^{n-1} \left[ A_{0,j}^{(n)} + A_{n-1,j}^{(n)} \right], \quad (2.31)$$

und

$$b_n = -V_\infty [\cos(\alpha - \theta_0) + \cos(\alpha - \theta_{n-1})]. \quad (2.32)$$

Gleichung (2.27) erweitert sich damit zu, [9], [5]

$$v_i^{(t)} = \sum_{j=0}^{n-1} A_{i,j}^{(t)} q_j - \gamma \sum_{j=0}^{n-1} A_{i,j}^{(n)} + V_\infty \cos(\alpha - \theta_i). \quad (2.33)$$

## 3 Bericht der Arbeit

Im Folgenden werden die wesentlichen Erkenntnisse der Arbeit präsentiert.

### 3.1 Vorbereitung der Daten

Die Daten der Profile wurden der UIUC Airfoil Data Site entnommen und lagen dabei überwiegend im Selig- oder Lednicer-Format vor, [6].<sup>1</sup>

Im Lednicer-Format wird in der ersten Zeile die Bezeichnung des Profils angegeben. In der zweiten Zeile wird die Anzahl der Koordinatenpaare der Ober- und Unterseite angegeben. Ab der dritten Zeile werden die Koordinaten der Panelenden  $(x_i, y_i)$  von  $x = 0$  bis  $x = 1$  für die Oberseite des Profils angegeben. Danach folgt eine Leerzeile. Danach werden die Koordinaten der Panelenden  $(x_i, y_i)$  von  $x = 0$  bis  $x = 1$  für die Unterseite des Profils angegeben.

Im Selig-Format wird in der ersten Zeile die Bezeichnung des Profils angegeben. Ab der zweiten Zeile werden die Koordinaten der Panelenden  $(x_i, y_i)$  im Gegenurzeigersinn, beginnend bei  $x = 1$  angegeben.

Es wurde eine Routine implementiert, welche Daten im Lednicer-Format in das Selig-Format überführt. Dies wurde bewerkstelligt, indem die Koordinatenpaare der Oberseite invertiert wurden. Anschließend wurden aus den Daten die Header-Zeilen entfernt.

Unter Verwendung der Methode `.write_panels()` wurde für die Profile eine `.csv`-Datei mit den Werten  $X_i, Y_i, \theta_i, l_i$  pro Panel erstellt (eine Beispieldatei ist in Anhang B: Beispielausgabe der Methode `.write_panels` gezeigt). Ebenso wurden Graphen erzeugt, welche sowohl die Geometrie des Profils als auch die Neigungswinkel und Längen der einzelnen Panele darstellen. Zur einfacheren Betrachtung sind die Graphen der Neigungswinkel und Panellängen in die beiden Seiten des Profils aufgeteilt.

Ein solcher Graph ist in Abbildung 3.1 an einem NACA-0012-Profil gezeigt. Die Symmetrie des Profils spiegelt sich in der gewählten Darstellung der Neigungswinkel und Panellängen wieder.

---

<sup>1</sup>Eine Gegenüberstellung der beiden Formate ist in Anhang A: Lednicer- und Selig-Format zu finden.

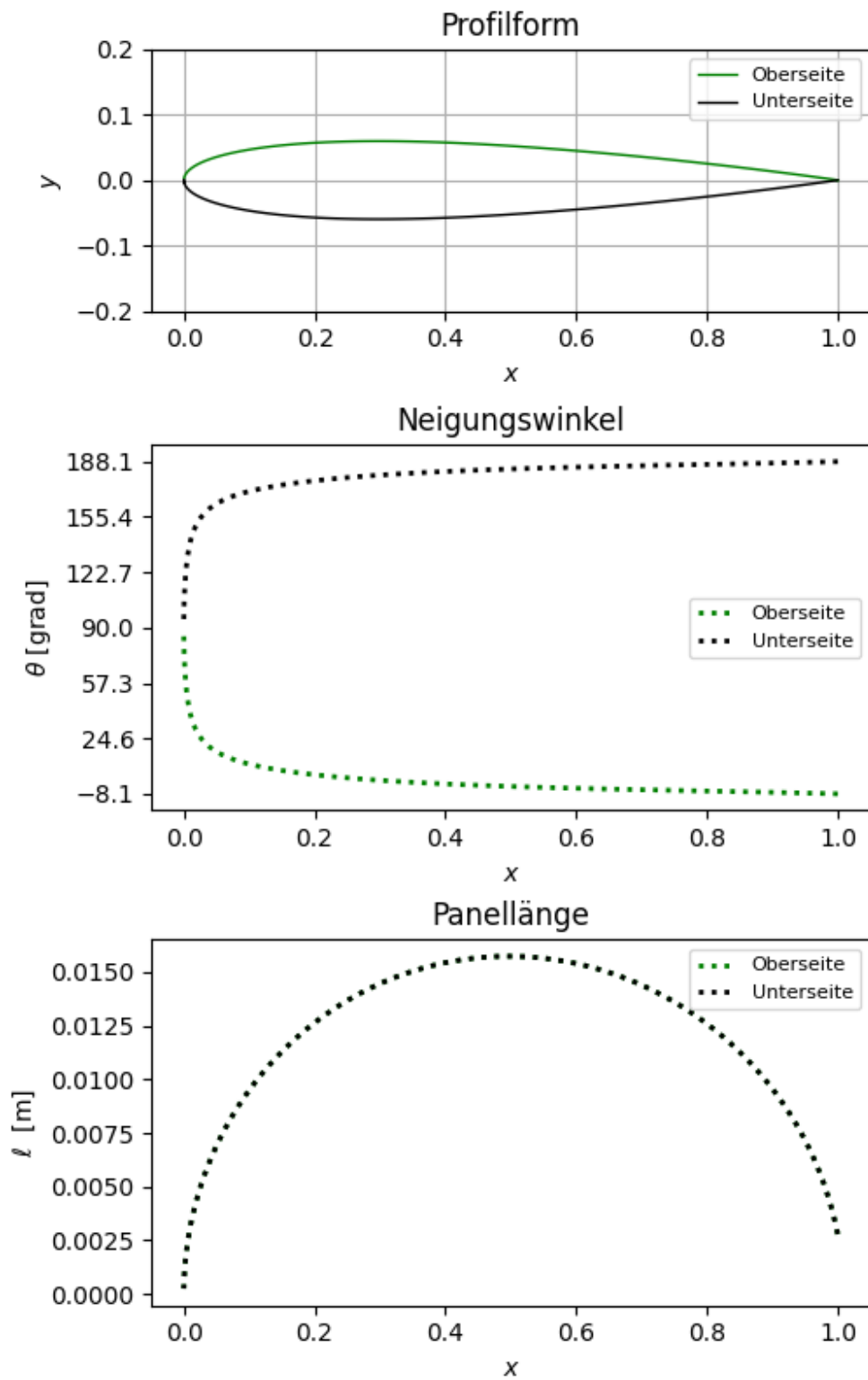


Abbildung 3.1: NACA-0012-Profil. Aufgrund der Symmetrie des Profils sind die Panellängen für Ober- und Unterseite deckungsgleich

$X_i$	$Y_i$	$\theta_i$	$l_i$
0.93	-0.18	-112.5	0.38
0.68	-0.43	-157.5	0.38
0.32	-0.43	157.5	0.38
0.07	-0.18	112.5	0.38
0.07	0.18	67.5	0.38
0.32	0.43	22.5	0.38
0.68	0.43	-22.5	0.38
0.93	0.18	-67.5	0.38

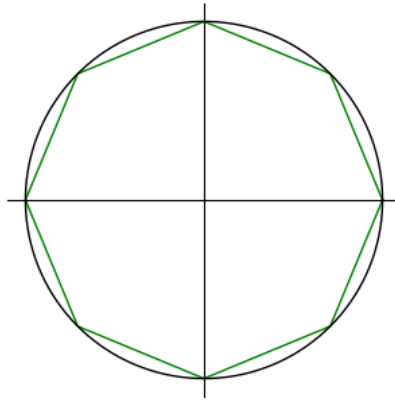


Abbildung 3.2: Achtseitiger Zylinder als Approximation eines Kreiszylinders sowie zugehörige Panelparameter

## 3.2 Untersuchungen am Kreiszylinder

Als nächstes wurden Untersuchungen an Kreiszylindern vorgenommen. Zur Generierung der Koordinatenpaare eines Kreiszylinders mit  $n$  gleich langen Seiten wurde die Funktion `make_cylinder` verwendet (siehe Anhang C: Codeausschnitte).

Die Panelparameter sowie die Systemmatrix und sämtliche damit verbundene Werte wurden entsprechend den Gleichungen (2.1) bis (2.3) sowie (2.21) bis (2.33) berechnet.

### 3.2.1 Achtseitiger Kreiszylinder

#### Berechnung der Systemmatrix

Für den in Abbildung 3.2 gezeigten Kreiszylinder wurde die Systemmatrix (hier gerundet auf zwei Dezimalstellen) zu folgenden Werten berechnet:

$$M_{i,j} = \begin{pmatrix} 0.5 & 0.056 & 0.064 & 0.065 & 0.065 & 0.065 & 0.064 & 0.056 \\ 0.056 & 0.5 & 0.056 & 0.064 & 0.065 & 0.065 & 0.065 & 0.064 \\ 0.064 & 0.056 & 0.5 & 0.056 & 0.064 & 0.065 & 0.065 & 0.065 \\ 0.065 & 0.064 & 0.056 & 0.5 & 0.056 & 0.064 & 0.065 & 0.065 \\ 0.065 & 0.065 & 0.064 & 0.056 & 0.5 & 0.056 & 0.064 & 0.065 \\ 0.065 & 0.065 & 0.065 & 0.064 & 0.056 & 0.5 & 0.056 & 0.064 \\ 0.064 & 0.065 & 0.065 & 0.065 & 0.064 & 0.056 & 0.5 & 0.056 \\ 0.056 & 0.064 & 0.065 & 0.065 & 0.065 & 0.064 & 0.056 & 0.5 \end{pmatrix}$$

Im Folgenden wurde die Lösung des linearen Gleichungssystems mit der obigen Systemmatrix und den Inhomogenitäten

$$b_i = -V_\infty \sin(\alpha - \theta_i), \quad i = 0, 1, \dots, n-1, \quad (3.1)$$

berechnet. Daraus wurde der Vektor der Quellenbelegung zunächst für eine allgemeine Anströmung berechnet:

$$\vec{q} = \begin{pmatrix} -0.16V_\infty \sin(\alpha - 5.89) - 0.17V_\infty \sin(\alpha - 5.11) - 0.17V_\infty \sin(\alpha - 4.32) - 0.17V_\infty \sin(\alpha - 3.53) - 0.16V_\infty \sin(\alpha - 2.75) - 0.12V_\infty \sin(\alpha - 1.96) + 2.13V_\infty \sin(\alpha - 1.18) - 0.12V_\infty \sin(\alpha - 0.39) \\ -0.12V_\infty \sin(\alpha - 5.89) - 0.16V_\infty \sin(\alpha - 5.11) - 0.17V_\infty \sin(\alpha - 4.32) - 0.17V_\infty \sin(\alpha - 3.53) - 0.17V_\infty \sin(\alpha - 2.75) - 0.16V_\infty \sin(\alpha - 1.96) - 0.12V_\infty \sin(\alpha - 1.18) + 2.13V_\infty \sin(\alpha - 0.39) \\ 2.13V_\infty \sin(\alpha - 5.89) - 0.12V_\infty \sin(\alpha - 5.11) - 0.16V_\infty \sin(\alpha - 4.32) - 0.17V_\infty \sin(\alpha - 3.53) - 0.17V_\infty \sin(\alpha - 2.75) - 0.17V_\infty \sin(\alpha - 1.96) - 0.16V_\infty \sin(\alpha - 1.18) - 0.12V_\infty \sin(\alpha - 0.39) \\ -0.12V_\infty \sin(\alpha - 5.89) + 2.13V_\infty \sin(\alpha - 5.11) - 0.12V_\infty \sin(\alpha - 4.32) - 0.16V_\infty \sin(\alpha - 3.53) - 0.17V_\infty \sin(\alpha - 2.75) - 0.17V_\infty \sin(\alpha - 1.96) - 0.17V_\infty \sin(\alpha - 1.18) - 0.16V_\infty \sin(\alpha - 0.39) \\ -0.16V_\infty \sin(\alpha - 5.89) - 0.12V_\infty \sin(\alpha - 5.11) + 2.13V_\infty \sin(\alpha - 4.32) - 0.12V_\infty \sin(\alpha - 3.53) - 0.16V_\infty \sin(\alpha - 2.75) - 0.17V_\infty \sin(\alpha - 1.96) - 0.17V_\infty \sin(\alpha - 1.18) - 0.17V_\infty \sin(\alpha - 0.39) \\ -0.17V_\infty \sin(\alpha - 5.89) - 0.16V_\infty \sin(\alpha - 5.11) - 0.12V_\infty \sin(\alpha - 4.32) + 2.13V_\infty \sin(\alpha - 3.53) - 0.12V_\infty \sin(\alpha - 2.75) - 0.16V_\infty \sin(\alpha - 1.96) - 0.17V_\infty \sin(\alpha - 1.18) - 0.17V_\infty \sin(\alpha - 0.39) \\ -0.17V_\infty \sin(\alpha - 5.89) - 0.17V_\infty \sin(\alpha - 5.11) - 0.16V_\infty \sin(\alpha - 4.32) - 0.12V_\infty \sin(\alpha - 3.53) + 2.13V_\infty \sin(\alpha - 2.75) - 0.12V_\infty \sin(\alpha - 1.96) - 0.16V_\infty \sin(\alpha - 1.18) - 0.17V_\infty \sin(\alpha - 0.39) \\ -0.17V_\infty \sin(\alpha - 5.89) - 0.17V_\infty \sin(\alpha - 5.11) - 0.17V_\infty \sin(\alpha - 4.32) - 0.16V_\infty \sin(\alpha - 3.53) - 0.12V_\infty \sin(\alpha - 2.75) + 2.13V_\infty \sin(\alpha - 1.96) - 0.12V_\infty \sin(\alpha - 1.18) - 0.16V_\infty \sin(\alpha - 0.39) \end{pmatrix}.$$

Die Ergebnisse für Quellenbelegung, Tangentialgeschwindigkeiten und Druckbeiwerte sind in Tabelle 3.1 für die Werte  $V_\infty = 1$  und  $\alpha = 0$  zusammengefasst. Ebenfalls von Interesse ist die Größe  $\sum_{i=0}^{n-1} q_i l_i$ . Diese Summe sollte für einen geschlossenen Körper Null ergeben (vgl. [4]). Tatsächlich ergibt sich für den geschlossenen achtseitigen Kreiszylinder:

$$\sum_{i=0}^{n-1} q_i l_i \approx 4.44 \cdot 10^{-16}.$$

Dieser sehr kleine Fehler beträgt ungefähr zwei Epsilon<sup>2</sup> und ergibt sich aus Rundungsfehlern, die bei der Berechnung der Eckpunkte des Kreiszylinders entstehen.

<sup>2</sup>1 Epsilon =  $2.220446049250313 \cdot 10^{-16}$  beschreibt die kleinstmögliche in Python darstellbare Gleitkommazahl, [13]

Tabelle 3.1: Ergebnisse für den achtseitigen Zylinder mit  $V_\infty = 1, \alpha = 0$

$i$	$q_i$	$v_i^{(t)}$	$c_{p_i}$
0	-2.19	-0.77	0.41
1	-0.91	-1.85	-2.41
2	0.91	-1.85	-2.41
3	2.19	-0.77	0.41
4	2.19	0.77	0.41
5	0.91	1.85	-2.41
6	-0.91	1.85	-2.41
7	-2.19	0.77	0.41

### 3.2.2 Untersuchungen an allgemeinen Kreiszylindern

Die Potentialtheorie liefert ein exaktes Resultat für den Druckbeiwert auf der Oberfläche eines Zylinders, [5]

$$c_p^{\text{exakt}}(\varphi) = 2 \cos(2\varphi) - 1. \quad (3.2)$$

Dabei bezeichnet  $\varphi$  den Winkel der Flächennormale des Kreiszylinders welche ins Innere des Profils zeigt. Mit unserer Definition des Neigungswinkels  $\theta$  gilt

$$\varphi = \theta + \frac{\pi}{2}. \quad (3.3)$$

Abbildung 3.3a zeigt die Abweichung der Druckbeiwerte eines achtseitigen Zylinders vom theoretischen Resultat. Es ergibt sich eine Abweichung dadurch, dass die Mittelpunkte des achtseitigen Zylinders nicht auf der Kreisfläche liegen. Der Fehler ergibt sich zu:

$$c_p^{\text{exakt}}(\varphi) = 2 \cos(2\varphi) - 1 \quad (3.4)$$

$$= 1 - 4 \sin^2 \varphi \quad (3.5)$$

$$= 1 - 4 \left( \frac{Y}{R} \right)^2. \quad (3.6)$$

Der Fehler, der bei der Approximation entsteht, ergibt sich folglich zu

$$\Delta c_{p_i} = |c_{p_i} - c_p^{\text{exakt}}(\varphi)| \quad (3.7)$$

$$= |c_{p_i} - [1 - 4(Y_i/R)^2]|. \quad (3.8)$$

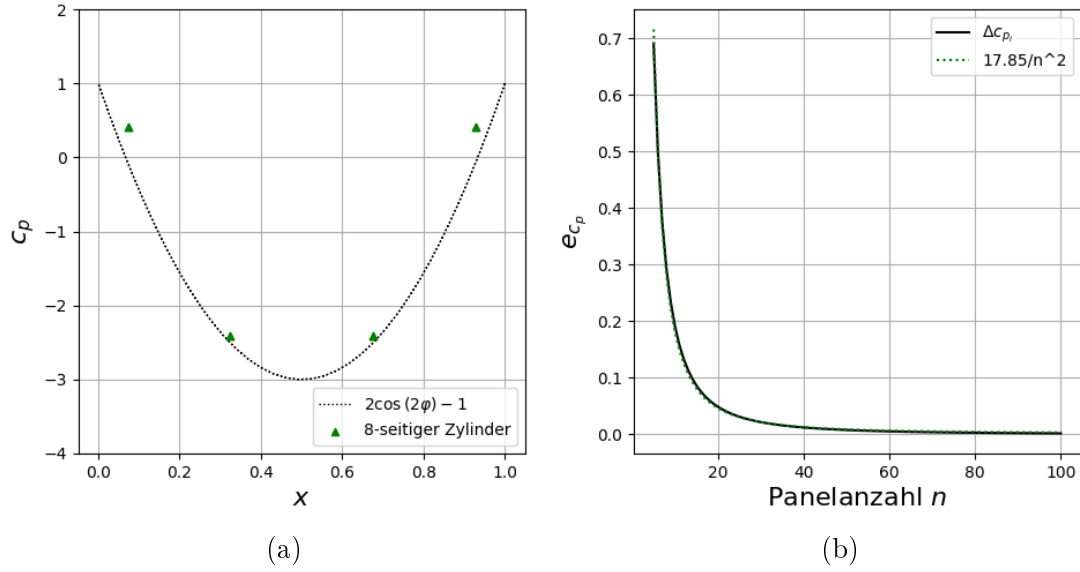


Abbildung 3.3: a) Abweichung der Druckbeiwerte eines achtseitigen Zylinders vom theoretisch ermittelten Wert b) Graph der Abweichung des mittleren Fehlers vom exakten Wert.

### Variation der Panelanzahl

Das Programm wurde nun für Kreiszylinder zwischen 5 und 100 Panelen durchlaufen und die mittlere absolute Abweichung  $e_{c_p}$  für jeden Kreiszylinder festgehalten (Abbildung 3.3b). Aus den experimentellen Daten wurde mittels Kurvenanpassung für den absoluten Fehler in Abhängigkeit der Panelanzahl  $n$  die Beziehung

$$e_{c_p}(n) \approx \frac{17.85301}{n^2} + 0.00183,$$

ermittelt. Die konstante Verschiebung ergibt sich daraus, dass für die Kurvenanpassung nur über eine endliche Anzahl an Panelen iteriert wurde; für  $n \rightarrow \infty$  geht diese gegen Null.

### Rotation des achtseitigen Zylinders

Als nächstes wurden die Werte  $\gamma$ ,  $c_a$ , sowie die Druckbeiwerte für verschiedene Winkel im Bereich  $\alpha \in [-15^\circ, 15^\circ]$  bestimmt. Die Ergebnisse sind in Tabelle 3.2 aufgetragen.



Tabelle 3.2: Ergebnisse für den achtseitigen Zylinder mit  $V_\infty = 1, \alpha \in [-15^\circ, 15^\circ]$

$\alpha$	$\gamma$	$c_a$	$c_{p_0}$	$c_{p_1}$	$c_{p_2}$	$c_{p_3}$	$c_{p_4}$	$c_{p_5}$	$c_{p_6}$	$c_{p_7}$
-15	0.51	-2.93	0.45	-3.26	-5.06	-1.88	0.95	-0.23	-1.26	0.45
-14	0.48	-2.74	0.45	-3.22	-4.88	-1.68	0.98	-0.35	-1.34	0.45
-13	0.44	-2.55	0.44	-3.18	-4.7	-1.49	0.99	-0.47	-1.42	0.44
-12	0.41	-2.35	0.44	-3.13	-4.53	-1.3	1.0	-0.6	-1.5	0.44
-11	0.38	-2.16	0.44	-3.08	-4.35	-1.12	1.0	-0.73	-1.58	0.44
-10	0.34	-1.96	0.43	-3.03	-4.17	-0.95	0.99	-0.87	-1.66	0.43
-9	0.31	-1.77	0.43	-2.98	-3.99	-0.78	0.97	-1.01	-1.74	0.43
-8	0.28	-1.57	0.43	-2.92	-3.81	-0.62	0.94	-1.15	-1.82	0.43
-7	0.24	-1.38	0.42	-2.86	-3.63	-0.46	0.9	-1.3	-1.9	0.42
-6	0.21	-1.18	0.42	-2.81	-3.46	-0.32	0.86	-1.45	-1.97	0.42
-5	0.17	-0.99	0.42	-2.74	-3.28	-0.18	0.81	-1.6	-2.05	0.42
-4	0.14	-0.79	0.42	-2.68	-3.1	-0.04	0.74	-1.76	-2.12	0.42
-3	0.1	-0.59	0.42	-2.62	-2.93	0.08	0.67	-1.92	-2.2	0.42
-2	0.07	-0.39	0.41	-2.55	-2.76	0.2	0.6	-2.08	-2.27	0.41
-1	0.03	-0.2	0.41	-2.48	-2.58	0.31	0.51	-2.25	-2.34	0.41
0	-0.0	0.0	0.41	-2.41	-2.41	0.41	0.41	-2.41	-2.41	0.41
1	-0.03	0.2	0.41	-2.34	-2.25	0.51	0.31	-2.58	-2.48	0.41
2	-0.07	0.39	0.41	-2.27	-2.08	0.6	0.2	-2.76	-2.55	0.41
3	-0.1	0.59	0.42	-2.2	-1.92	0.67	0.08	-2.93	-2.62	0.42
4	-0.14	0.79	0.42	-2.12	-1.76	0.74	-0.04	-3.1	-2.68	0.42
5	-0.17	0.99	0.42	-2.05	-1.6	0.81	-0.18	-3.28	-2.74	0.42
6	-0.21	1.18	0.42	-1.97	-1.45	0.86	-0.32	-3.46	-2.81	0.42
7	-0.24	1.38	0.42	-1.9	-1.3	0.9	-0.46	-3.63	-2.86	0.42
8	-0.28	1.57	0.43	-1.82	-1.15	0.94	-0.62	-3.81	-2.92	0.43
9	-0.31	1.77	0.43	-1.74	-1.01	0.97	-0.78	-3.99	-2.98	0.43
10	-0.34	1.96	0.43	-1.66	-0.87	0.99	-0.95	-4.17	-3.03	0.43
11	-0.38	2.16	0.44	-1.58	-0.73	1.0	-1.12	-4.35	-3.08	0.44
12	-0.41	2.35	0.44	-1.5	-0.6	1.0	-1.3	-4.53	-3.13	0.44
13	-0.44	2.55	0.44	-1.42	-0.47	0.99	-1.49	-4.7	-3.18	0.44
14	-0.48	2.74	0.45	-1.34	-0.35	0.98	-1.68	-4.88	-3.22	0.45
15	-0.51	2.93	0.45	-1.26	-0.23	0.95	-1.88	-5.06	-3.26	0.45

### 3.3 Auswertung ausgewählter Profile

Im Folgenden wurde das entwickelte Programm auf die drei Profile NACA-0012, NASA SC(2)-0614 und Taylor Zone-40 angewandt. Für jedes Profil wurden die Werte  $\gamma$  und  $c_a$  unter verschiedenen Anströmwinkeln  $\alpha$  berechnet.

An dieser Stelle wurde das Programm um die Möglichkeit erweitert, den Geschwindigkeitsvektor an jedem Punkt des Profils zu berechnen. Dies spiegelt sich in (2.25) und (2.26) wieder, für welche dann

$$\xi_j = (x - X_j) \cos \theta_j + (y - Y_j) \sin \theta_j, \quad (3.9)$$

und

$$\eta_j = -(x - X_j) \sin \theta_j + (y - Y_j) \cos \theta_j, \quad (3.10)$$

gelten. (2.22) und (2.28) vereinfachen sich ebenfalls zu

$$A_j^{(n)} = \sin(\theta_j) I_j + \cos(\theta_j) J_j, \quad (3.11)$$

$$A_j^{(t)} = \cos(\theta_j) I_j - \sin(\theta_j) J_j. \quad (3.12)$$

Der Geschwindigkeitsvektor im Punkt  $\vec{x} = (x, y)$  ergibt sich also zu:

$$\vec{v}(x, y) = \begin{pmatrix} v_x \\ v_y \end{pmatrix} = \begin{pmatrix} \sum_{j=0}^{n-1} A_j^{(t)} q_j - \gamma \sum_{j=0}^{n-1} A_j^{(n)} + V_\infty \cos(\alpha) \\ \sum_{j=0}^{n-1} A_j^{(n)} q_j + \gamma \sum_{j=0}^{n-1} A_j^{(t)} + V_\infty \cos(\alpha) \end{pmatrix}. \quad (3.13)$$

Diese Geschwindigkeitsvektoren wurden für die oben genannten Profile für ein Gitter der Dimension  $200 \times 200$  und den Punkten

$$\vec{x} = (x, y) = \{-0.5, -0.5 + n\Delta x, \dots, 1.5\} \times \{-0.2, -0.2 + n\Delta y, \dots, 0.2\},$$

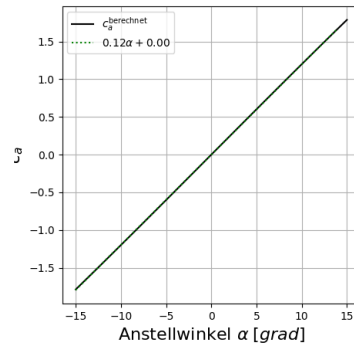
$$\Delta x = \frac{1.5 - (-0.5)}{200}, \quad \Delta y = \frac{0.2 - (-0.2)}{200}, \quad n \in \mathbb{N} \cap (0, 200),$$

für die Anströmgeschwindigkeit  $V_\infty = 1$  und den Anströmwinkel  $\alpha = 5^\circ$  berechnet und sind in Form eines Strömungsgraphens dargestellt. Auch wurde unter derselben Anströmung ein Konturgraph für die sich ergebenden Druckbeiwerte im Umgebungsfeld des Profils generiert.

Die Werte für Tangentialgeschwindigkeiten und Druckbeiwerte auf der Profilloberfläche wurden für  $V_\infty = 1$ , sowie jeweils  $\alpha = 5^\circ$  und  $\alpha = 8^\circ$  ermittelt und dargestellt. Ebenfalls wurde für jedes Profil eine Kurvenanpassung der ermittelten Auftriebsbeiwerte in Abhängigkeit des Anströmwinkels durchgeführt und mit Werten aus der Literatur verglichen.

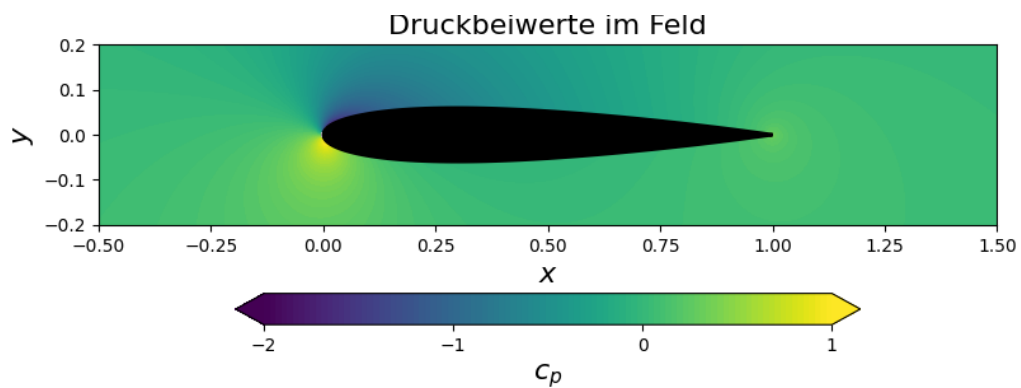
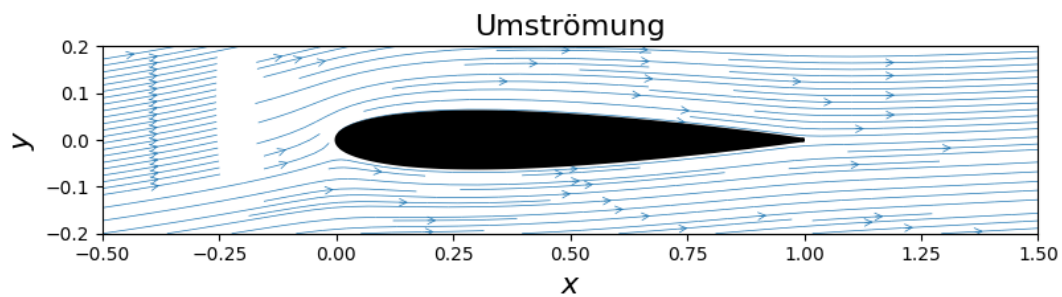
### 3.3.1 NACA-0012-Profil

$\alpha$	$\gamma$	$c_a$
-11	0.32	-1.32
-7	0.21	-0.84
-3	0.09	-0.36
1	-0.03	0.12
5	-0.15	0.6
9	-0.27	1.08
13	-0.38	1.55
17	-0.5	2.02

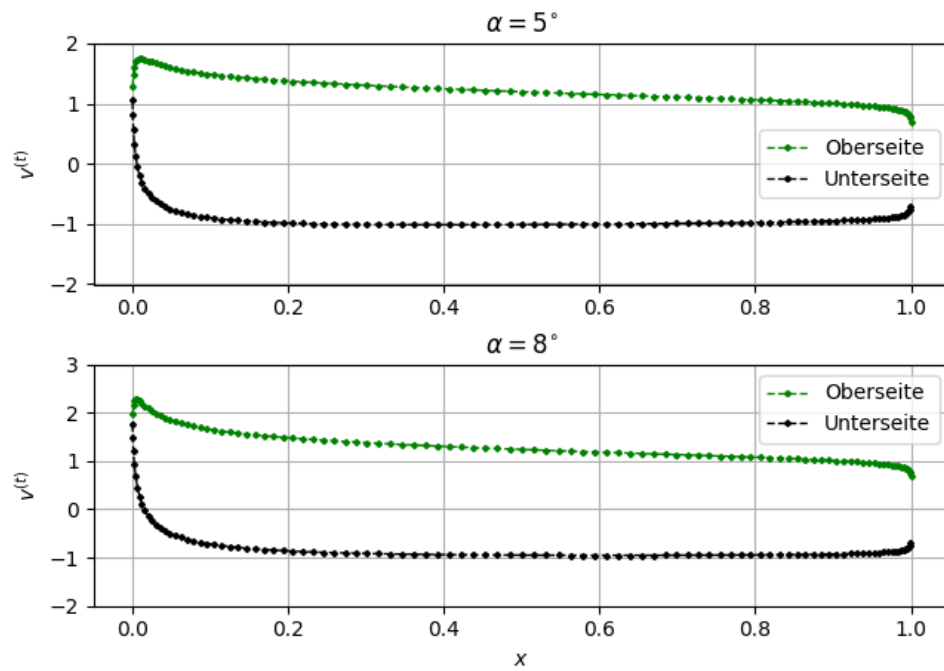


Angepasste Kurve:  $c_a = 0.12\alpha$  | Berechneter Wert    Literaturwert ([1], p.31)

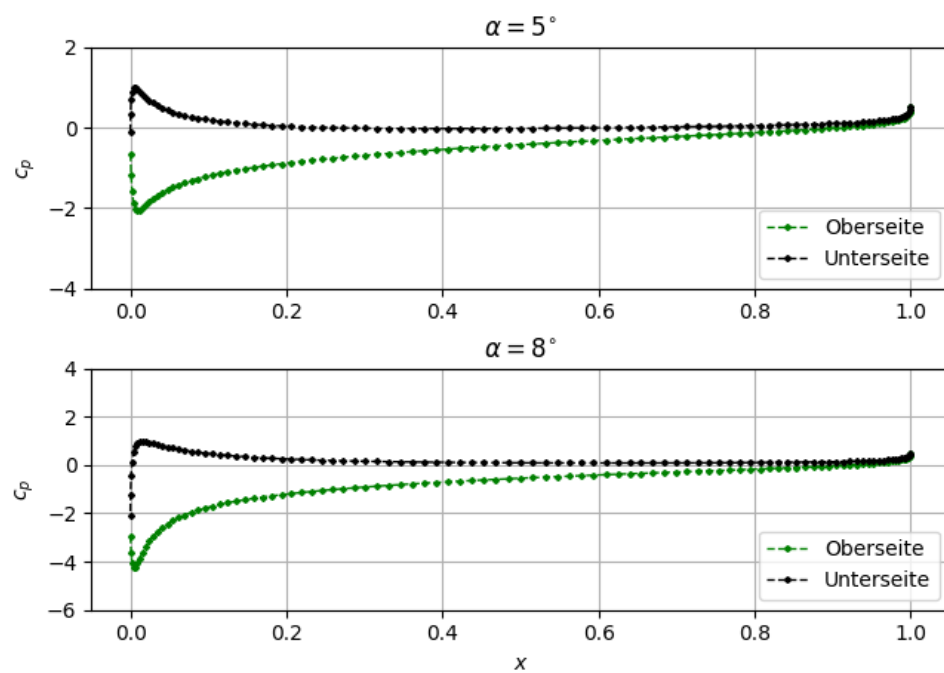
Auftrieb bei $\alpha = 0$ , $c_{a0}$	$1.39 \cdot 10^{-9}$	0
Nullauftriebswinkel $\alpha_0$	$-1.16 \cdot 10^{-8}$	0



### Tangentialgeschwindigkeiten an der Oberfläche

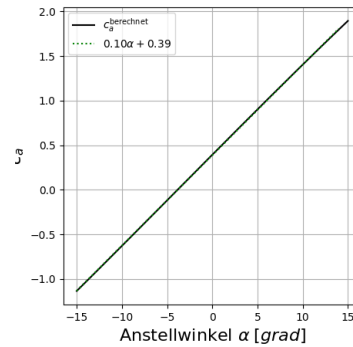


### Druckbeiwerte an der Oberfläche



### 3.3.2 NASA SC(2)-0614-Profil

$\alpha$	$\gamma$	$c_a$
-11	0.18	-0.73
-7	0.08	-0.32
-3	-0.02	0.09
1	-0.12	0.5
5	-0.22	0.9
9	-0.32	1.3
13	-0.41	1.7
17	-0.51	2.09

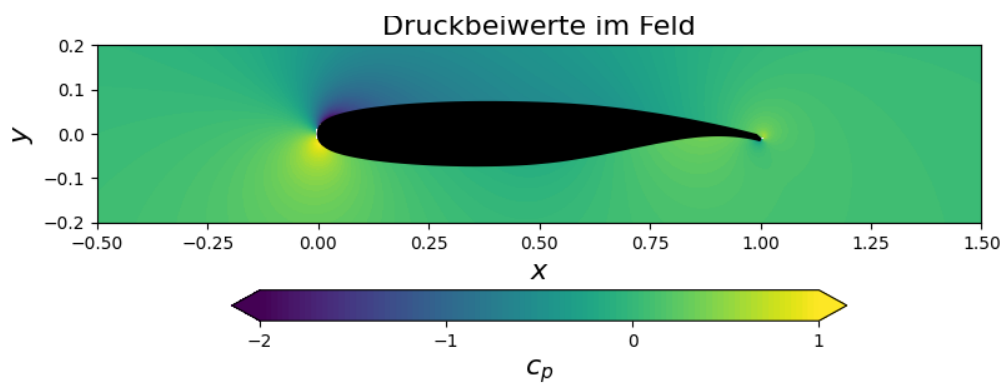
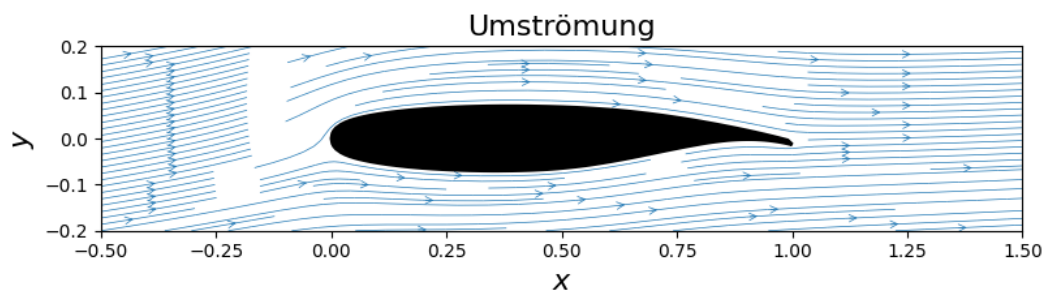


Angepasste Kurve:  $c_a = 0.101\alpha + 0.389$  | Berechneter Wert    Literaturwert [12]

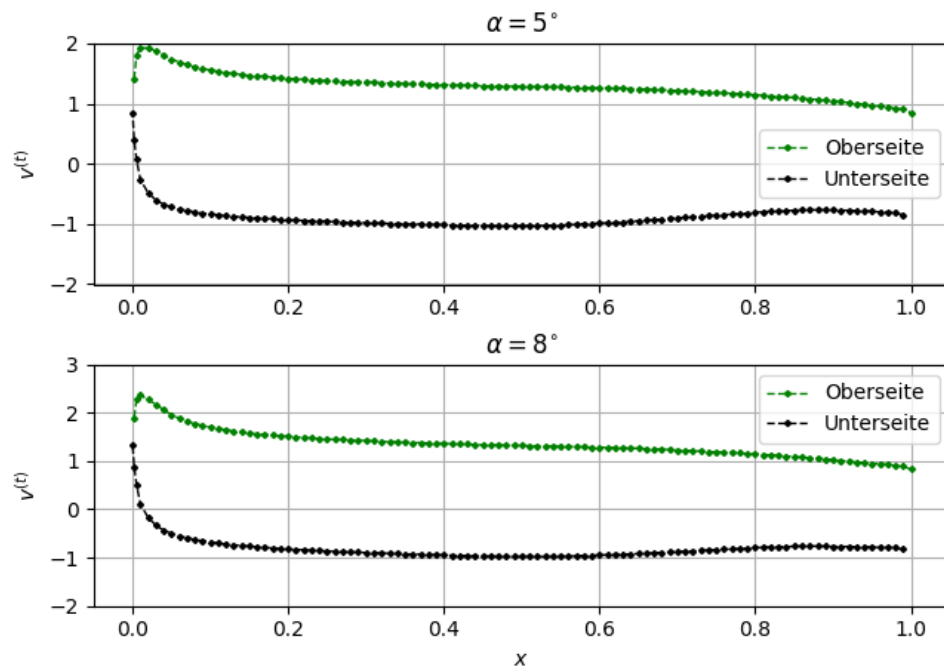
Auftrieb bei  $\alpha = 0$ ,  $c_{a0}$   
Nullauftriebswinkel  $\alpha_0$

0.389  
-3.84

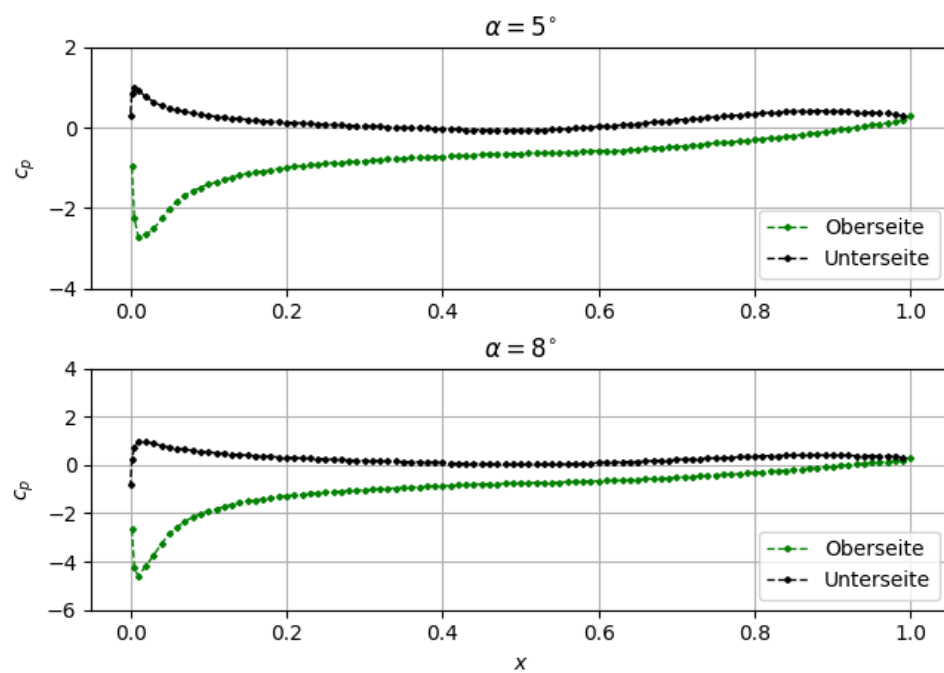
0.532  
-4.37



### Tangentialgeschwindigkeiten an der Oberfläche

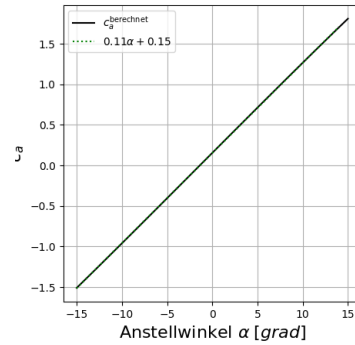


### Druckbeiwerte an der Oberfläche



### 3.3.3 Taylor Zone-40-Profil

$\alpha$	$\gamma$	$c_a$
-11	0.27	-1.07
-7	0.16	-0.63
-3	0.04	-0.18
1	-0.07	0.27
5	-0.18	0.71
9	-0.29	1.16
13	-0.4	1.59
17	-0.51	2.02

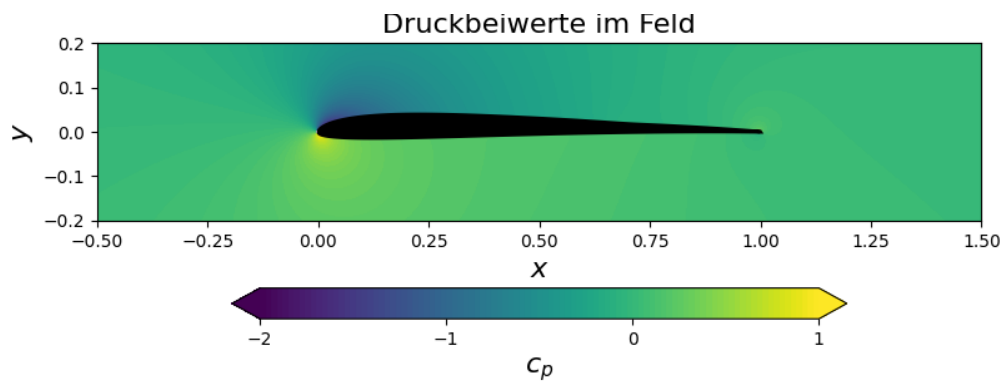
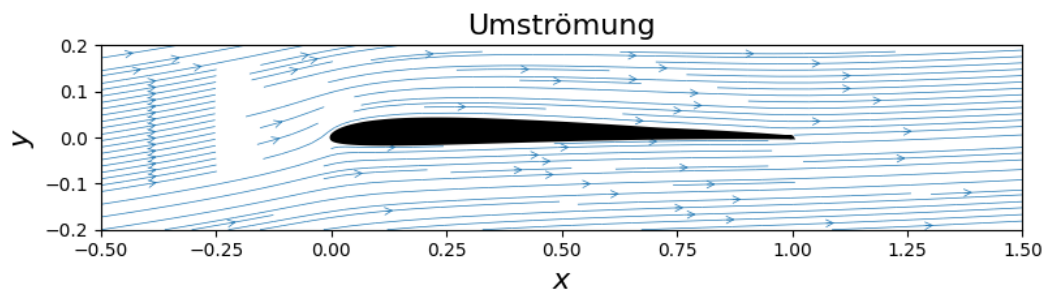


Angepasste Kurve:  $c_a = 0.111\alpha + 0.153$  | Berechneter Wert    Literaturwert [12]

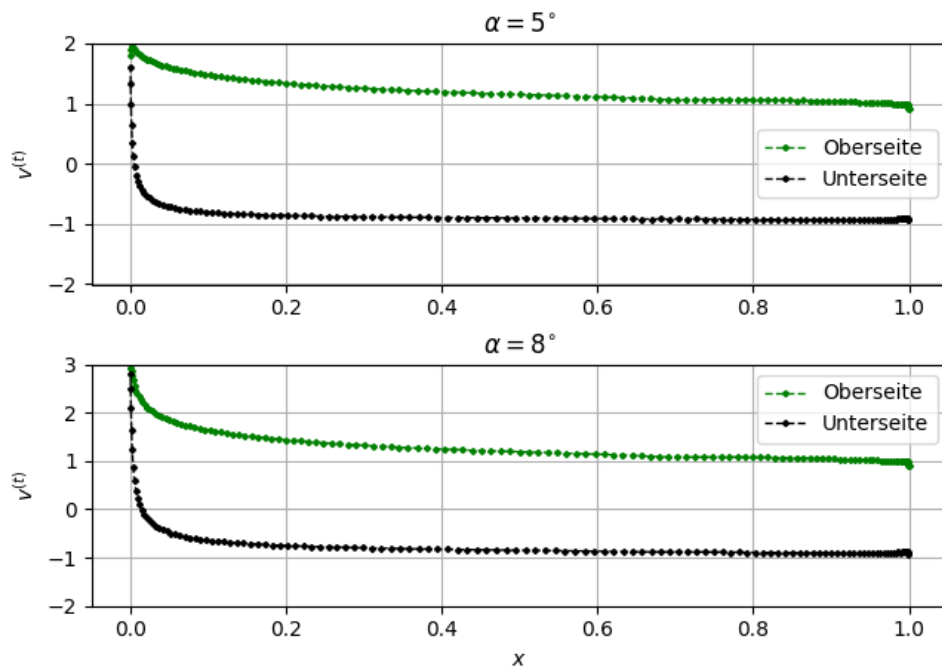
Auftrieb bei  $\alpha = 0$ ,  $c_{a0}$   
Nullauftriebswinkel  $\alpha_0$

0.153  
-1.38

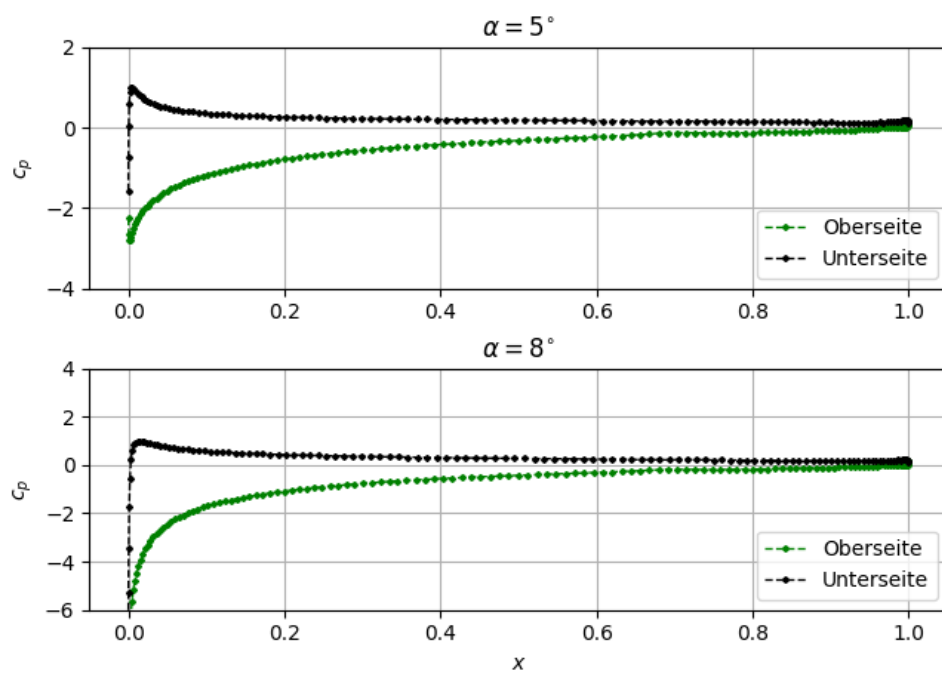
0.153  
-1.34



### Tangentialgeschwindigkeiten an der Oberfläche



### Druckbeiwerte an der Oberfläche





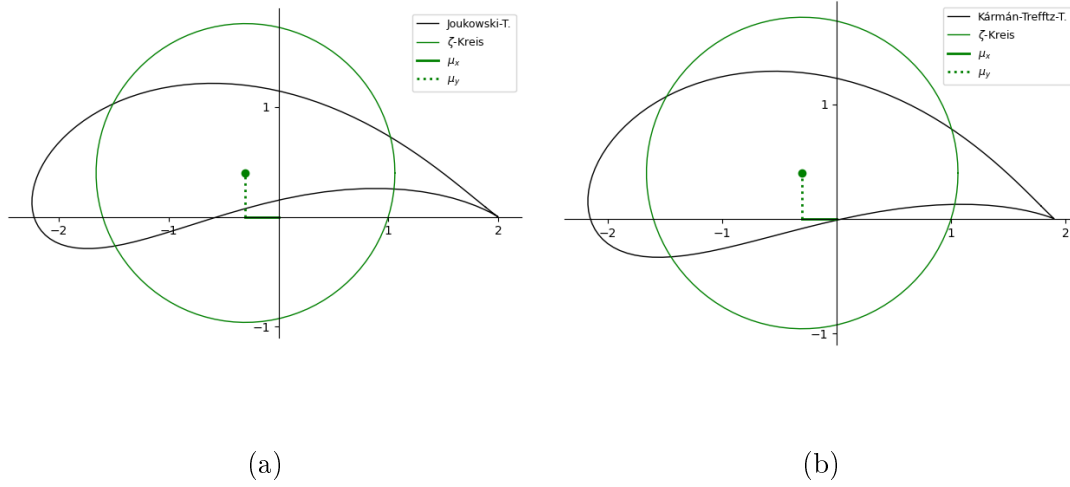


Abbildung 3.4: Vergleich der a) Joukowski-Transformation mit der b) Kármán-Trefftz-Transformation. Für beide Transformationen wurde für die Verschiebung des Mittelpunkts des  $\zeta$ -Kreises  $\mu_x = -0.3, \mu_y = 0.4$  gewählt; für die Kármán-Trefftz-Transformation wurde  $n = 1.9$  gesetzt.

### 3.4 Abschätzung der Fehlerordnung anhand des Joukowski-Profiles

Die Joukowski-Transformation ist eine konforme Abbildung, deren Transformation als Ergebnis Tragflächenprofile liefert. Die Transformationsgleichung lautet:

$$z = \zeta + \frac{a^2}{\zeta}, \quad (3.14)$$

mit einem reellen Parameter  $a$  welcher im Folgenden  $a = 1$  gesetzt wird. Dabei ist  $z = x + iy$  eine komplexe Zahl im Bildraum und  $\zeta = \chi + i\eta$  eine komplexe Zahl im Ursprungsraum.

Ein Joukowski-Profil wird im  $z$ -Raum durch die Anwendung der Joukowski-Transformation auf einen Kreis im  $\zeta$ -Raum erzeugt. Einsetzen von  $z$  und  $\zeta$  in (3.14) ergibt die realen und imaginären Komponenten

$$x = \frac{\chi(\chi^2 + \eta^2 + 1)}{\chi^2 + \eta^2}, \quad y = \frac{\eta(\chi^2 + \eta^2 - 1)}{\chi^2 + \eta^2}. \quad (3.15)$$

Durch Verschiebung des Mittelpunkts des Kreises in der  $\zeta$ -Ebene um  $\mu = \mu_x + i\mu_y$  können so verschiedene Profile generiert werden. Die Abbildung hat allerdings an

den Stellen  $z = \pm a = \pm 1$  eine Singularität. Deshalb legt man einen der Punkte (hier  $z = -1$ ) ins Innere des Kreises und den Punkt  $z = 1$  auf den Kreis. In diesem Fall ergibt sich an der Hinterkante ein Winkel von  $0^\circ$ .

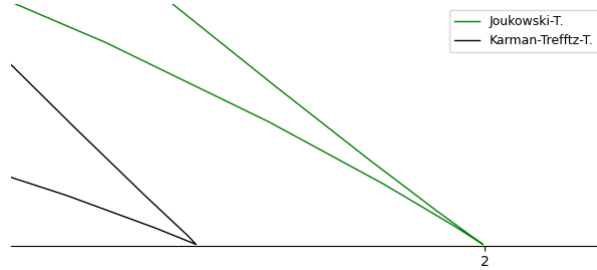


Abbildung 3.5: Vergleich der Hinterkantenwinkel des Joukowski- und Kármán-Trefftz-Profiles

Ein Profil mit einem Winkel ungleich Null an der Hinterkante lässt sich durch eine verwandte Transformation, die Kármán-Trefftz-Transformation

$$z = nb \frac{(\zeta + b)^n + (\zeta - b)^n}{(\zeta + b)^n - (\zeta - b)^n}, \quad (3.16)$$

erzeugen, wiederum mit einem reellen Parameter  $b$  (im Folgenden  $b = 1$ ) und  $n \in [1, 2]$ , wobei sich für  $n = 1$  der Kreis in der  $\zeta$ -Ebene und für  $n = 2$  die Joukowski-Transformation ergibt. Die beiden Transformationen sind in Abbildung 3.4 unter gleichen Parametern dargestellt. Abbildung 3.5 gibt einen näheren Blick auf die Profilhinterkante.

Die analytische Lösung einer ebenen Potentialströmung um einen Kreiszylinder ist bekannt (siehe 3.2.2). Damit ist auch eine Lösung für Joukowski-Profile gegeben. Für die Zirkulation  $\Gamma = \sum_{i=1}^{n-1} \gamma l_i$  ergibt sich

$$\Gamma = 4V_\infty R \sin \left( \alpha + \arcsin \frac{\mu_y}{R} \right). \quad (3.17)$$

Mit dem Kutta-Joukowski-Theorem für den dynamischen Auftrieb  $F_a = \rho \Gamma V_\infty$  ist über den dynamischen Auftrieb mit  $c_a = \frac{2F_a}{\rho V_\infty^2}$  ein Ausdruck für den Auftriebsbeiwert gegeben:

$$c_a = \frac{8R \sin \left( \alpha + \arcsin \frac{\mu_y}{R} \right)}{t}. \quad (3.18)$$

Es wurde nun für Joukowski-Profile mit den Parametern  $\mu_x = -0.2, \mu_y = 0.1$  für 10 bis 200 Panele der Auftriebsbeiwert berechnet und mit dem theoretischen Resultat aus (3.18) verglichen.

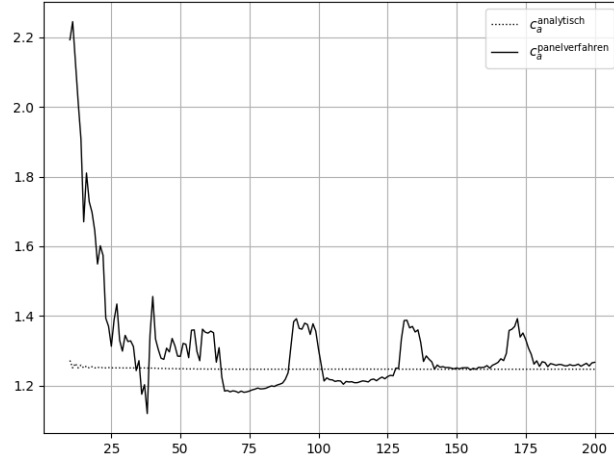


Abbildung 3.6: Vergleich des theoretisch ermittelten Werts für den Auftriebsbeiwert eines Joukowski-Profiles mit  $\mu_x = -0.2, \mu_y = 0.1$  und dem berechneten Wert.

Es ist ersichtlich, dass sich der Auftriebsbeiwert ab einer Panelanzahl von ungefähr 75 stabil eingeschwungen hat, bis auf Schwankungen, welche vermutlich auf der Diskretisierungsfunktion des Joukowski-Profiles beruhen. Für den mittleren relativen Fehler eines Joukowski-Profiles mit mindestens 75 Panelen wurde der Wert

$$\begin{aligned} \frac{\Delta c_a}{c_a^{\text{analytisch}}} &= \frac{|c_a^{\text{analytisch}} - c_a^{\text{panelverfahren}}|}{c_a^{\text{analytisch}}} \\ &= 0.033 = 3.3\%, \end{aligned}$$

ermittelt. Ein Vergleich der analytischen mit den aus dem Panelverfahren ermittelten Werten ist in Tabelle 3.3 gezeigt, [2], [4].

Tabelle 3.3: Vergleich der analytischen mit den aus dem Panelverfahren ermittelten Auftriebsbeiwerten

$n$	$c_a^{\text{analytisch}}$	$c_a^{\text{panelverfahren}}$	$\Delta c_a$
10	1.27	2.19	0.92
15	1.25	1.67	0.42
20	1.25	1.55	0.3
25	1.25	1.31	0.06
30	1.25	1.34	0.09
35	1.25	1.27	0.02
40	1.25	1.46	0.21
45	1.25	1.31	0.06
50	1.25	1.28	0.04
55	1.25	1.36	0.11
60	1.25	1.35	0.1
65	1.25	1.22	0.02
70	1.25	1.18	0.06
75	1.25	1.18	0.06
80	1.25	1.19	0.06
85	1.25	1.2	0.05
90	1.25	1.31	0.06
95	1.25	1.38	0.13
100	1.25	1.3	0.06
105	1.25	1.22	0.03
110	1.25	1.21	0.04
115	1.25	1.21	0.04
120	1.25	1.22	0.03
125	1.25	1.23	0.02
130	1.25	1.33	0.09
135	1.25	1.35	0.11
140	1.25	1.28	0.03
145	1.25	1.25	0.01
150	1.25	1.25	0.0
155	1.25	1.25	0.0
160	1.25	1.25	0.01
165	1.25	1.27	0.02
170	1.25	1.36	0.11
175	1.25	1.33	0.09
180	1.25	1.26	0.01
185	1.25	1.26	0.01
190	1.25	1.26	0.01
195	1.25	1.26	0.01
200	1.25	1.27	0.02

# Literatur

- [1] I. H. Abbott, A. E. Von Doenhoff und L. Stivers. *Summary of airfoil data. NACA Report No. 824*. 1945.
- [2] C. Abello, P. P. Cárdenas Alzate und J. Granada. „A survey of Joukowski airfoil and von Karman vortex street“. In: *Contemporary Engineering Sciences* 11 (Jan. 2018), S. 4921–4928. DOI: 10.12988/ces.2018.810540.
- [3] J.J. Alonso. *Hess-Smith Panel Method*. 2005. URL: [http://aero-comlab.stanford.edu/aa200b/lect\\_notes/lect3-4.pdf](http://aero-comlab.stanford.edu/aa200b/lect_notes/lect3-4.pdf) (besucht am 28.07.2022).
- [4] L. Barba und O. Mesnard. „Aero Python: classical aerodynamics of potential flow using Python“. In: *Journal of Open Source Education* 2.16 (2019), S. 45. DOI: 10.21105/jose.00045. URL: <https://doi.org/10.21105/jose.00045>.
- [5] T. Cebeci. *An Engineering Approach to the Calculation of Aerodynamic Flows*. 1. Aufl. Berlin Heidelberg: Springer, 1999. ISBN: 978-3-540-66181-8.
- [6] *Datenbank für Panelkoordinaten von Trägerprofilen*. URL: [https://m-selig.ae.illinois.edu/ads/coord\\_database.html](https://m-selig.ae.illinois.edu/ads/coord_database.html) (besucht am 20.09.2022).
- [7] S. Gillies et al. *Shapely: manipulation and analysis of geometric objects*. toblerity.org, 2007–. URL: <https://github.com/Toblerity/Shapely>.
- [8] C. R. Harris et al. „Array programming with NumPy“. In: *Nature* 585.7825 (Sep. 2020), S. 357–362. DOI: 10.1038/s41586-020-2649-2. URL: <https://doi.org/10.1038/s41586-020-2649-2>.
- [9] J.L. Hess und A.M.O. Smith. „Calculation of Potential Flow About Arbitrary Bodies“. In: *Progress in Aerospace Sciences* 8 (1966), S. 117–137.
- [10] J. D. Hunter. „Matplotlib: A 2D graphics environment“. In: *Computing in Science & Engineering* 9.3 (2007), S. 90–95. DOI: 10.1109/MCSE.2007.55.
- [11] A. Meurer et al. „SymPy: symbolic computing in Python“. In: *PeerJ Computer Science* 3 (Jan. 2017), e103. ISSN: 2376-5992. DOI: 10.7717/peerj-cs.103. URL: <https://doi.org/10.7717/peerj-cs.103>.
- [12] *Sammlung an experimentellen Daten für Trägerprofile*. URL: <https://bigfoil.com/> (besucht am 12.08.2022).

- [13] G. Van Rossum und F. L. Drake. *Python 3 Reference Manual*. Scotts Valley, CA: CreateSpace, 2009. ISBN: 1441412697.
- [14] P. Virtanen et al. „SciPy 1.0: Fundamental Algorithms for Scientific Computing in Python“. In: *Nature Methods* 17 (2020), S. 261–272. DOI: 10.1038/s41592-019-0686-2.

## Anhang A: Lednicer- und Selig-Format

Es folgt eine Gegenüberstellung des Selig-Formats (links) mit dem Lednicer-Format (rechts) am Beispiel des NACA M13-Profiles.

NACA M13 AIRFOIL	NACA M13 AIRFOIL
1.00000000 0.00440000	17 17
0.95000000 0.01056000	0.000000 0.000000
0.90000000 0.01642000	0.012500 0.012780
0.80000000 0.02924000	0.025000 0.019370
0.70000000 0.04186000	0.050000 0.029640
0.60000000 0.05378000	0.075000 0.037910
0.50000000 0.06360000	0.100000 0.044680
0.40000000 0.06942000	0.150000 0.055420
0.30000000 0.07014000	0.200000 0.062760
0.20000000 0.06276000	0.300000 0.070140
0.15000000 0.05542000	0.400000 0.069420
0.10000000 0.04468000	0.500000 0.063600
0.07500000 0.03791000	0.600000 0.053780
0.05000000 0.02964000	0.700000 0.041860
0.02500000 0.01937000	0.800000 0.029240
0.01250000 0.01278000	0.900000 0.016420
0.00000000 0.00000000	0.950000 0.010560
0.00000000 0.00000000	1.000000 0.004400
0.01250000 -0.00812000	0.000000 0.000000
0.02500000 -0.00813000	0.012500 -0.008120
0.05000000 -0.00791000	0.025000 -0.008130
0.07500000 -0.00439000	0.050000 -0.007910
0.10000000 -0.00222000	0.075000 -0.004390
0.15000000 0.00192000	0.100000 -0.002220
0.20000000 0.00506000	0.150000 0.001920
0.30000000 0.00804000	0.200000 0.005060
0.40000000 0.00772000	0.300000 0.008040
0.50000000 0.00550000	0.400000 0.007720
0.60000000 0.00228000	0.500000 0.005500
0.70000000 -0.00064000	0.600000 0.002280
0.80000000 -0.00226000	0.700000 -0.000640
0.90000000 -0.00228000	0.800000 -0.002260
0.95000000 -0.00144000	0.900000 -0.002280
1.00000000 0.00000000	0.950000 -0.001440
	1.000000 0.000000

## Anhang B: Beispielausgabe der Methode `.write_panels`

Hier ist die Ausgabe der ersten 30 Zeilen der AirfoilProfile-Methode `.write_panels` gezeigt, am Beispiel des NASA: HSNLF(1)-0213 Profils.

```
X_i,Y_i,theta_i,l_i
1.0,0.0,-90.0,0.0013398
0.9950043,-0.0009728,-176.53028176,0.01000975
0.9850132,-0.0016043,-176.23647604,0.01001239
0.97752025,-0.0021092,-175.96223567,0.00500753
0.96253695,-0.00330425,-175.33539764,0.02505448
0.937568,-0.00552425,-174.50339006,0.02508173
0.92258845,-0.0069828,-174.11527646,0.00501915
0.910107,-0.0083076,-173.89772702,0.020084
0.8876414,-0.0107718,-173.61456462,0.02511682
0.8626817,-0.01365475,-173.20816903,0.02513479
0.8377253,-0.01677495,-172.53929414,0.02516746
0.82275295,-0.01875585,-172.08379489,0.00503831
0.81027805,-0.02055885,-171.69908973,0.02017082
0.79032025,-0.0235841,-171.06256939,0.02020137
0.77784795,-0.02556705,-170.5814527,0.00505667
0.76288615,-0.0283095,-169.42015294,0.02536633
0.73795785,-0.03345505,-167.26194135,0.02555034
0.7130314,-0.0387352,-168.82200575,0.0254135
0.6905846,-0.0425474,-172.30336929,0.02014367
0.6781074,-0.04417745,-173.57353486,0.00502377
0.6631284,-0.0456803,-174.41027033,0.02508508
0.63815875,-0.0478474,-175.6702679,0.02504498
0.61318205,-0.0495071,-176.72682089,0.02502072
0.58819985,-0.05077395,-177.46737688,0.02500893
0.56321345,-0.05173975,-178.10560524,0.02500196
0.5382233,-0.05243635,-178.70102613,0.02499842
0.5132296,-0.0528728,-179.29814725,0.02499728
0.4882332,-0.0531112,-179.608979,0.02499798
0.4632347,-0.05320265,-179.97181003,0.0249996
0.43823365,-0.0531076,179.53618988,0.02500332
```



## Anhang C: Codeausschnitte

Hier sind ausgewählte Codeausschnitte gezeigt, welche zur Lösung der Problemstellungen geschrieben wurden.

### Die Klasse Panel

Die Klasse Panel modelliert die Panels  $\mathcal{C}_i$  eines gegebenen Profils. Gespeichert werden neben den charakteristischen Parametern  $X_i, Y_i, \theta_i, l_i$  auch die Quellbelegung  $q_i$ , die Tangentialgeschwindigkeit  $v_i^{(t)}$  unter gegebenen Anströmwinkel  $\alpha$  und -geschwindigkeit  $V_\infty$ , und der resultierende Druckbeiwert  $c_{p_i}$ .

**class** Panel:

```
def __init__(self, xa, ya, xb, yb):
    self.xa, self.ya = xa, ya
    self.xb, self.yb = xb, yb

    self.xm = (xa + xb) / 2
    self.ym = (ya + yb) / 2
    self.length = np.sqrt((xb - xa) ** 2 + (yb - ya) ** 2)
    self.theta = np.arctan2(yb - ya, xb - xa)

    self.q = None
    self.vt = None
    self.cp = None
```

### Die Klasse AirfoilProfile

Die Klasse AirfoilProfile modelliert ein gegebenes Profil. Sie speichert neben wählbaren Namen und der ihr zugewiesenen Panele auch die Profiltiefe  $t$  und sämtliche Systemparameter  $\xi_{i,j}, \eta_{i,j}, I_{i,j}, J_{i,j}, A_{i,j}^{(n)}, A_{i,j}^{(t)}, M_{i,j}$ .

Durch einen Aufruf der Methode `.solve(V, a)` mit gegebenen  $\alpha$  und  $V_\infty$  werden für alle zugeordneten Panele die Quellstärken, Tangentialgeschwindigkeiten und Druckbeiwerte berechnet (und in den jeweiligen Klassenvariablen abgespeichert). Dabei wird ebenfalls die Genauigkeit der Approximation  $\sum q_i l_i$  berechnet. Die Methode kann mit dem Schlüsselwortargument `vortex=True` aufgerufen werden, wodurch ebenfalls der Auftriebsbeiwert  $c_a$ , sowie die Wirbelbelegung  $\gamma$  berechnet werden. Die Methode `.write_panels` erzeugt eine `.csv`-Datei, welche für jedes Panel die Werte  $X_i, Y_i, \theta_i, l_i$  in eine Zeile schreibt (siehe Anhang B: Beispielausgabe der Methode `.write_panels`).

Die Methode `.compute_free_vt` ermöglicht die Berechnung der Tangentialgeschwindigkeiten an jedem Punkt  $(x_i, y_i)$  des Profils. Diese werden als Tupel von der Methode zurückgegeben.

```
class AirfoilProfile :
    def __init__(self, panels, name=None, vortex=True):
        self.panels = panels
        self.name = name
        self.x = [panel.xa for panel in self.panels]
        self.y = [panel.ya for panel in self.panels]
        self.len = len(self.panels)
        self.vortex = vortex
        self.shape = Polygon([(a,b) for a,b in zip(self.x, self.y)])

        self.U = sum([panel.length for panel in self.panels])
        self.t = abs(max(self.x) - min(self.x))

        self.xi = self.__xi()
        self.eta = self.__eta()
        self.I = self.__i()
        self.J = self.__j()
        self.An = self.__an()
        self.At = self.__at()
        self.M = self.__m()

        self.solve_state = None
        self.ca = None
        self.accuracy = None
        self.gamma = None

    def write_panels(self, filename, n=2):
        header = ["X_i", "Y_i", "theta_i", "l_i"]
        with open(filename, "w+", encoding='UTF8', newline="") as file:
            writer = csv.writer(file)
            writer.writerow(header)
            for panel in self.panels:
                writer.writerow([round(panel.xm,n), round(panel.ym,n),
                                round(panel.theta*180/np.pi,n), round(panel.length,n)])

    def __xi(self, x=None, y=None):
        panels = self.panels
```

```

n_panels = len(panels)
if x is not None and y is not None:
    n = 1
else:
    n = len(panels)
Xi = np.empty((n, n_panels), dtype=float)
for i in range(n):
    for j in range(n_panels):
        if x is not None and y is not None:
            i_xm, i_ym = x, y
        else:
            i_xm, i_ym = panels[i].xm, panels[i].ym
        pj = panels[j]
        Xi[i || j] = (i_xm - pj.xm) * np.cos(pj.theta) + (i_ym - pj.
            ym) * np.sin(pj.theta)
return Xi

def __eta(self, x=None, y=None):
    panels = self.panels
    n_panels = len(panels)
    if x is not None and y is not None:
        n = 1
    else:
        n = len(panels)
    Eta = np.empty((n, n_panels), dtype=float)
    for i in range(n):
        for j in range(n_panels):
            if x is not None and y is not None:
                i_xm, i_ym = x, y
            else:
                i_xm, i_ym = panels[i].xm, panels[i].ym
            pj = panels[j]
            Eta[i || j] = - (i_xm - pj.xm) * np.sin(pj.theta) + (i_ym -
                pj.ym) * np.cos(pj.theta)
    return Eta

def __i(self, Xi=None, Eta=None):
    panels = self.panels
    if Xi is None and Eta is None:
        Xi = self.xi

```

```

        Eta = self.eta
    n_panels = len(panels)
    n = Xi.shape[0]
    II = np.empty((n, n_panels), dtype=float)
    for i in range(n):
        for j in range(n_panels):
            pj = panels[j]
            if i == j and n > 1:
                II[i][j] = 0
            else:
                II[i][j] = (1 / (4 * np.pi)) * np.log(((pj.length + 2 * Xi[
                    i][j]) ** 2 + 4 * (Eta[i][j] ** 2)) / ((pj.length - 2
                        * Xi[i][j]) ** 2 + 4 * (Eta[i][j] ** 2)))
    return II

def __j(self, Xi=None, Eta=None):
    panels = self.panels
    if Xi is None and Eta is None:
        Xi = self.xi
        Eta = self.eta
    n_panels = len(panels)
    n = Xi.shape[0]
    JJ = np.empty((n, n_panels), dtype=float)
    for i in range(n):
        for j in range(n_panels):
            pj = panels[j]
            if i == j and n > 1:
                JJ[i][j] = 0.5
            else:
                JJ[i][j] = (1 / (2 * np.pi)) * np.arctan((pj.length - 2 *
                    Xi[i][j]) / (2 * Eta[i][j])) + (1 / (2 * np.pi)) * np.
                    arctan((pj.length + 2 * Xi[i][j]) / (2 * Eta[i][j]))
    return JJ

def __an(self, II=None, JJ=None):
    panels = self.panels
    if II is None and JJ is None:
        II = self.I
        JJ = self.J
    n_panels = len(panels)

```

```

n = II.shape[0]
if n == 1:
    i_theta = 0
AN = np.empty((n, n_panels), dtype=float)
for i in range(n):
    for j in range(n_panels):
        if n > 1:
            i_theta = panels[i].theta
        pj = panels[j]
        AN[i][j] = - np.sin(i_theta - pj.theta) * II[i][j] + np.cos(
            i_theta - pj.theta) * JJ[i][j]
return AN

def __at(self, II=None, JJ=None):
    panels = self.panels
    if II is None and JJ is None:
        II = self.I
        JJ = self.J
    n_panels = len(panels)
    n = II.shape[0]
    if n == 1:
        i_theta = 0
    AT = np.empty((n, n_panels), dtype=float)
    for i in range(n):
        for j in range(n_panels):
            if n > 1:
                i_theta = panels[i].theta
            pj = panels[j]
            AT[i][j] = np.cos(i_theta - pj.theta) * II[i][j] + np.sin(
                i_theta - pj.theta) * JJ[i][j]
    return AT

def __m(self):
    panels = self.panels
    AN = self.An
    AT = self.At
    vortex = self.vortex
    n = len(panels)
    if vortex:
        MM = np.empty((n + 1, n + 1), dtype=float)

```

```

else:
    MM = np.empty((n, n), dtype=float)
if vortex:
        MM[:−1, :−1] = AN
        MM[:−1, −1] = np.sum(AT, axis=1)

        r = np.empty(n + 1, dtype=float)
        r[:−1] = AT[0, :] + AT[n − 1, :]
        r[−1] = −np.sum(AN[0, :] + AN[n − 1, :])
        MM[−1, :] = r
    else:
        MM = AN
return MM

def solve( self , V=1, a=5):
    a = np.radians(a)
    b = self.__b(V, a)

    self.__q(b) # setzt auch self.gamma
    self.__vt(V, a)
    self.__cp(V)
    self.__ca(V)
    self.__accuracy()
    self.solve_state = (V,a)

def compute_free_vt(self, x, y, V=1, a=5):
    if (V,a) != self.solve_state:
        self.solve(V=V, a=a)
    a = np.radians(a)
    point = Point(x,y)
    if point.within( self.shape) or self.shape.touches(point):
        vtx = np.nan
        vty = np.nan
    else:
        xi = self.__xi(x=x, y=y)
        eta = self.__eta(x=x, y=y)
        I = self.__i(Xi=xi, Eta=eta)
        J = self.__j(Xi=xi, Eta=eta)
        An = self.__an(II=I, JJ=J)
        At = self.__at(II=I, JJ=J)

```

```

        vtx = sum([At[0][j] * self.panels[j].q for j in range(self.len)])
        - self.gamma * sum(
            [An[0][j] for j in range(self.len)]) + V * np.cos(a)

        vty = sum([An[0][j] * self.panels[j].q for j in range(self.len)]) +
            self.gamma * sum(
                [At[0][j] for j in range(self.len)]) + V * np.sin(a)

    return vtx, vty

def __b(self, V, a):
    panels = self.panels
    vortex = self.vortex
    n = len(panels)
    if vortex:
        B = np.empty(n + 1, dtype=float)
    else:
        B = np.empty(n, dtype=float)
    for i in range(n):
        pi = panels[i]
        B[i] = -V * np.sin(a - pi.theta)
    if vortex:
        B[-1] = -V * (np.cos(a - panels[0].theta) + np.cos(a - panels[-1].
            theta))
    return B

def __q(self, B):
    panels = self.panels
    qs = np.linalg.solve(self.M, B)

    for i, panel in enumerate(panels):
        panel.q = qs[i]
    if self.vortex:
        self.gamma = qs[-1]

def __vt(self, V, a):
    panels = self.panels
    AN = self.An
    AT = self.At

```

```

n = len(panels)
if self.vortex:
    VT = np.empty(n, dtype=float)
    for i in range(n):
        VT[i] = sum([AT[i][j] * panels[j].q for j in range(n)] \
                    - self.gamma * sum([AN[i][j] for j in range(n)] \
                    + V * np.cos(a - panels[i].theta))
    else:
        VT = np.empty(n, dtype=float)
        for i in range(n):
            VT[i] = sum([AT[i][j] * panels[j].q for j in range(n)] \
                        + V * np.cos(a - panels[i].theta))

    for i, panel in enumerate(panels):
        panel.vt = VT[i]

def __cp(self, V):
    for panel in self.panels:
        panel.cp = 1 - (panel.vt / V) ** 2

def __ca(self, V):
    self.ca = 2 / (V * self.t) * sum([panel.vt * panel.length for panel in
    self.panels])

def __accuracy(self):
    self.accuracy = sum([panel.q * panel.length for panel in self.panels])

```

### **make\_cylinder(r,n)**

Diese Funktion wurde verwendet, um die  $x$ - und  $y$ -Koordinaten eines Kreiszylinders mit Radius  $r$  und  $n$  gleich langen Panels zu generieren. Es wurde dabei besonderes Augenmerk darauf gelegt, dass es an den Endpunkten durch Rundungsfehler nicht zu einem disjunkten Körper kommt.

```

def cylinder(r=1, n=8):
    a = np.linspace(0, 360, num=n+1, endpoint=True) / 180 * np.pi

    x = r * np.cos(a)
    y = r * np.sin(a)
    if abs(x[0] - x[-1]) <= 10 ** (-15):
        x[-1] = x[0]

```



```

if abs(y[0] - y[-1]) <= 10 ** (-15):
    y[-1] = y[0]

```

```

return x, y

```

### **make\_panels(x,y)**

Diese Funktion wurde verwendet, um aus gegebenen Koordinatenpaaren eine Liste an Panels zu generieren.

```

def make_panels(x, y):
    if type(x) is not np.ndarray:
        x = np.array(x)
    if type(y) is not np.ndarray:
        y = np.array(y)

    n = len(x) - 1

    panels = np.array([Panel(x[n - i], y[n - i], x[n - i - 1], y[n - i - 1], i)
                        for i in range(n)])

    return panels

```

### **Joukowski-Profil-Generator**

Diese Funktion generiert Joukowski-Profile.

```

def joukowski_transfrom(zeta):
    z = zeta + 1 / zeta
    return z

def make_joukowski(mux=0.2, muy=0.1, N=100):
    center = -mux + muy * 1j
    R = np.sqrt((1 + mux) ** 2 + muy ** 2)

    theta = np.linspace(0, 2 * np.pi, N)
    Xc = np.real(center) + R * np.cos(theta)
    Yc = np.imag(center) + R * np.sin(theta)

    p = joukowski_transfrom(Xc + Yc * 1j)
    Xp, Yp = np.real(p), np.imag(p)
    return Xp, Yp, R, muy

```

## Kármán-Trefftz-Profil-Generator

Diese Funktion generiert Kármán-Trefftz-Profile.

```
def karman_trefftz_transform(zeta, n):
    z = n * ((zeta + 1) ** n + (zeta - 1) ** n) / ((zeta + 1) ** n - (zeta -
        1) ** n)
    return z

def make_karman_trefftz(mux=0.2, muy=0.1, n=1.9, N=100):
    center = -mux + muy * 1j
    R = np.sqrt((1 + mux) ** 2 + muy ** 2)

    theta = np.linspace(0, 2 * np.pi, N)
    Xc = np.real(center) + R * np.cos(theta)
    Yc = np.imag(center) + R * np.sin(theta)

    p = karman_trefftz_transform(Xc + Yc * 1j, n)
    Xp, Yp = np.real(p), np.imag(p)
    return Xp, Yp, R, muy
```